

МАТЕМАТИЧЕСКАЯ МОДЕЛЬ ЗАХВАТА ЧАСТИЦ В СИНХРОТРОНЕ

В. В. ЦЫГАНКОВ

В синхротроне со слабой фокусировкой изменение ускоренного до конечной энергии заряда от цикла к циклу вызывается в основном изменением таких параметров, как моменты включения инжекции и ускоряющего высокочастотного (ВЧ) напряжения, энергия инжекции, начальная частота генератора. Построение математической модели захвата является начальным этапом проектирования системы автоматической оптимизации условий захвата.

Рассматривается многооборотная инжекция частиц в синхротрон при следующих допущениях: не учитывается коллективное взаимодействие частиц при инжекции, показатель спада магнитного поля n , постоянный по радиусу и азимуту сектора электромагнита и одинаковый во всех секторах, поле внутри прямолинейных участков отсутствует, амплитуда ускоряющего ВЧ-напряжения устанавливается за время, которым можно пренебречь по сравнению с периодом радиально-фазовых колебаний.

Процесс инжекции разделяется на два этапа [1]. На 1-м этапе инжекции, который длится до момента включения ВЧ-поля, частицы инжектируются на мгновенную орбиту, сжимающуюся к центру из-за роста магнитного поля. В соответствии с протеканием 1-го этапа инжекции вычисляется функция распределения частиц $g_{\min}(u, \gamma)$ по координатам u и γ (где u — расстояние от внутренней пластины инфлектора до мгновенной орбиты, γ — угол между направлением вылета частиц из инфлектора и касательной к мгновенной орбите в месте, где установлен инфлектор). В отличие от функции распределения частиц по амплитудам бетатронных колебаний $\phi(A)$ [1] функция $g_{\min}(u, \gamma)$ дает возможность учесть в соотношениях захвата n изменение момента инжекции и энергии инжектируемых частиц.

Решение уравнения бетатронных колебаний на азимуте инфлектора σ для ускорителей типа рейстрек имеет вид [1]:

$$x_A = F_c(\sigma) \cdot \cos(4\mu\kappa + \alpha(\sigma)), \quad (1)$$

где

$$F_c(\sigma) = 2(D \sin \sigma + dD \cdot \cos \sigma), \quad (2)$$

$$\alpha(\sigma) = \arg(D \cdot \sin \sigma + dD \cdot \cos \sigma),$$

$$D = \frac{R\gamma}{x} \frac{d^* - x_0}{d^* - d}, \quad d = \frac{c - e^{i,x}}{s}, \quad d^* = \frac{c - e^{-i,x}}{s},$$

$$c = \cos \frac{\pi}{2} \chi, \quad s = \sin \frac{\pi}{2} \chi, \quad \cos \mu = c - ps,$$

$$p = \frac{l\kappa}{2R}, \quad \sigma = \frac{\chi S}{R}, \quad \chi = \sqrt{1-n},$$

S — расстояние от края сектора до инфлектора по направлению движения частиц,

R — радиус равновесной орбиты,

l — длина прямолинейного промежутка,

γ — угол между направлением вылета частицы и касательной к равновесной орбите на азимуте,

x_0 — начальное отклонение частицы от мгновенной орбиты,

x_κ — значение x на κ -ом обороте ($\kappa = 0, 1, 2 \dots$).

Выполняя операции (2) и подставляя выражения для $F_c(\sigma)$ и $\alpha(\sigma)$ в (1), получим:

$$x_\kappa = x_0 B(\kappa) + \frac{\gamma R}{\chi} A(\kappa), \quad (3)$$

где

$$A(\kappa) = a \cos 4\mu\kappa + \frac{s(b+pa) + 2pbc}{\sin \mu} \sin 4\mu\kappa,$$

$$B(\kappa) = b \cos 4\mu\kappa - \frac{s(a+pb)}{\sin \mu} \cdot \sin 4\mu\kappa,$$

$$a = \sin \sigma, \quad b = \cos \sigma.$$

В области $u > 0$ условие обхода инфлектора имеет вид:

$$(g+u)B(\kappa) + \frac{\gamma R}{\chi} A(\kappa) \leq \Delta R_{об} \kappa + u, \quad (5)$$

где $\Delta R_{об}$ — сжатие мгновенной орбиты за оборот,

g — расстояние от внутренней пластины инфлектора до частицы, a

u — от внутренней пластины до мгновенной орбиты в момент вылета частицы из инфлектора.

Из (5) следуют два неравенства:

$$1) g_1(\kappa) \leq \frac{1-B(\kappa)}{B(\kappa)} \cdot u - \frac{A(\kappa)}{B(\kappa)} \cdot \frac{R}{\chi} \gamma + \frac{\Delta R_{об} \kappa}{B(\kappa)}, \quad (6)$$

если $B(\kappa) > 0$, и

$$2) g_2(\kappa) \geq \frac{1-B(\kappa)}{B(\kappa)} \cdot u - \frac{A(\kappa)}{B(\kappa)} \cdot \frac{R}{\chi} \gamma + \frac{\Delta R_{об} \kappa}{B(\kappa)}, \quad (7)$$

если $B(\kappa) < 0$.

В (6) и (7) для фиксированных значений $n, \Delta R_{об}, \gamma, u$ и среди $\kappa = 1, 2, 3, \dots$ найдем такое значение $\kappa = \kappa'$, при котором $g_1(\kappa')$ минимально, и такое значение $\kappa = \kappa''$, при котором $g_2(\kappa'')$ максимально. Тогда область инфлектора, вылетов из которой частицы будут захвачены в 1-й этап инжекции, равна:

$$0 \leq g_2(\kappa'') \leq g_1(\kappa') \leq g_1, \quad (8)$$

где g_1 — ширина инфлектора.

Аналитические методы исследования функции $g(\kappa)$ дискретного аргумента κ отсутствуют, поэтому операцию нахождения κ' и κ'' приходится выполнять численно.

В первый момент после включения ВЧ-поля частицы распределяются по фазам φ_0 ускоряющего напряжения. Область фаз (φ_1, φ_2),

ограниченная сепаратрисой, представляет геометрическое место точек синхротронных орбит, вокруг каждой из которых частицы распределены по положениям мгновенной орбиты в соответствии с первым этапом инжекции. Через четверть периода радиально-фазовых колебаний синхротронная орбита, имеющая начальную фазу φ_0 , будет на расстоянии $y \sim \varphi(\varphi_s)$ от равновесной орбиты, поэтому область интегрирования по u для данной синхротронной орбиты равняется $(0, u_1, -y)$ (φ_s — равновесная фаза, u_1 — расстояние от внутренней пластины инфлектора до центра рабочей области). Если энергия инжектируемых частиц изменилась на величину $+\Delta E$, то азимутальный размер сгустка в плоскости (φ, φ) будет равен $y_{02} - y_{01} = \varphi(\Delta E)$, а нижний предел интегрирования по y равен $y_0 = \frac{R_s \Delta E}{\beta^2 (1-n) E}$. В случае, когда область интегрирования по u не зависит от γ , заряд, захваченный в ускорение с учетом двух этапов инжекции, равен:

$$Q = \int_{\gamma_1}^{\gamma_2} \int_0^{y_{01}} \int_{\varphi_{01}}^{\varphi_{02}} \int_{y_0}^{y_1} \int_0^{u_1-y} \int_0^{g_{\min}(u, \gamma)} q(\gamma, y_0, \varphi_0, y, u, g) \times \\ \times dg du dy d\varphi_0 dy_0 d\gamma, \quad (9)$$

q — функция распределения инжектируемых частиц по углу γ , энергии y_0 , начальной фазе φ_0 ВЧ-напряжения, амплитудам радиально-фазовых колебаний $y \sim \varphi(\varphi_s)$ без учета бетатронных колебаний, длительности импульса инжекции u , ширине инфлектора g ;

y_1 — радиальный полуразмер сепаратрисы;

$$g_{\min}(u, \gamma) = g_1(\kappa') = \frac{1 - B(\kappa')}{B(\kappa')} \cdot u - \frac{A(\kappa')}{B(\kappa')} \frac{R}{\kappa} \gamma + \frac{\Delta R_{об} \cdot \kappa'}{B(\kappa')}. \quad (10)$$

Далее положим, что соотношение между координатами φ_0 и y линейное, т. е. если распределение частиц по фазам φ_0 равномерное, то распределение частиц по y (без учета бетатронных колебаний) можно также считать равномерным. Такое допущение можно сделать, если в выражении [1]

$$\varepsilon_{1,2} = \frac{2(1 - \varphi_s \operatorname{ctg} \varphi_s)^{1/2}}{\pi} \frac{y}{y_1} \left[1 + \kappa_{1,2} \left(\frac{y}{y_1} \right)^2 \right], \quad (10)$$

устанавливающим связь между амплитудами радиальных и фазовых колебаний, пренебречь членом $\kappa_{1,2} \left(\frac{y}{y_1} \right)^2$ ($\kappa_{1,2} = 0,2 \div 0,25$; $0 \leq y \leq y_1$), который „дает небольшую поправку“ [1]. Для случая равномерного распределения заряда

$$q(\gamma, y_0, \varphi_0, y, u, g) = \frac{I}{g_1 \cdot \left| \frac{dR}{dt} \right| \cdot y_1 \cdot 2\pi y_{01} (\gamma_2 - \gamma_1)}, \quad (11)$$

где I — ток инжектора.

Область интегрирования по φ_0 при $\Delta E \neq 0$ можно определить, если в выражении [2]

$$\varepsilon_{y_0}(y = y_1) = \frac{\varphi_{02} - \varphi_{01}}{\pi} = \frac{2(1 - \varphi_s \cdot \operatorname{ctg} \varphi_s)^{1/2}}{\pi} \left(\sqrt{1 - \left(\frac{y_0}{y_1} \right)^2} + \right. \\ \left. + \kappa_{1,2} \left[\sqrt{1 - \left(\frac{y_0}{y_1} \right)^2} \right]^3 \right). \quad (12)$$

пренебречь членом $\kappa_{1,2} \left[\sqrt{1 - \left(\frac{y_0}{y_1}\right)^2} \right]^3$, $0 \leq y_0 \leq y_1$. Подставляя

(10), (11), (12) в (9), легко вычислить интегралы (9).

Помимо вышеуказанных допущений относительно вида функций $\varepsilon_{1,2}$ и ε_{y_0} , которые не носят принципиального характера, в формуле (9) не учтено изменение функции $g_{\min}(u, \gamma)$ в области мгновенных орбит, близких к синхротронной. Действительно, если мгновенная орбита совпадает с синхротронной, отстоящей от равновесной на расстоянии u , то $g_{\min}(u, \gamma)$, так как период синхротронных колебаний много больше периода бетатронных колебаний. Для каждой мгновенной орбиты максимальная амплитуда бетатронных колебаний (для ускорителя

без прямолинейных промежутков) равна $A = \sqrt{[u + g_{\min}(u, \gamma)]^2 + \left(\frac{\gamma R}{x}\right)^2}$.

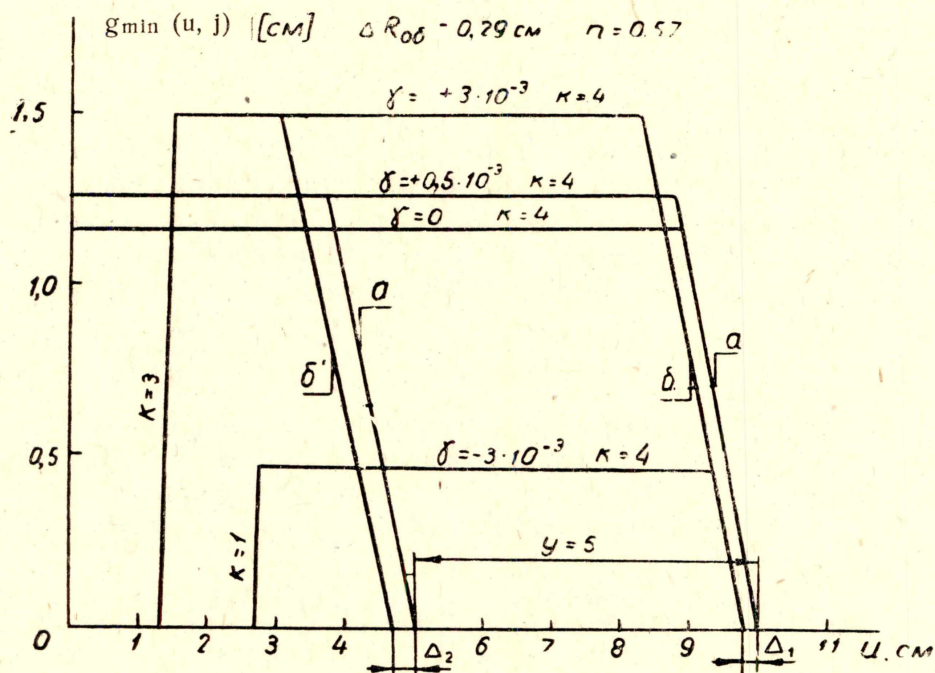


Рис. 1. Функция распределения по u и γ и ее изменение на 2-м этапе инжекции

Если $A < u_1 - u$, то распределение частиц по u находится согласно (10), если же $A > u_1 - u$, то функция распределения равна:

$$g'_{\min}(u, \gamma) = g_{\min}(u, \gamma) - \{A - (u_1 - u)\}. \quad (13)$$

Таким образом, область интегрирования по u разбивается на две: $(0, u')$ и $(u', u'' \approx u_1 - u)$, u' находится из условия равенства фигурной скобки нулю, а u'' из условия $g'_{\min}(u, \gamma) = 0$. На рис. 1 представлен график функции $g_{\min}(u, \gamma)$ (10), (13), рассчитанный для параметров синхротрона 1,5 ГэВ ТПИ. Из рис. 1 видно, что погрешность формулы (9), которая вызвана тем, что не учитывается изменение $g_{\min}(u, \gamma)$ в области мгновенных орбит, близких к синхротронным, одного порядка для параллельного пучка с $\gamma = 0$ и $\gamma \neq 0$. Коэффициент захвата

во второй этап инжекции для параллельного моноэнергетического пучка, рассчитанный по формуле (9), равен:

$$\eta_2 = \frac{Q}{Q_1} = \frac{\varphi_2 - \varphi_1}{2\pi} \cdot \frac{1}{2} \quad (\text{при } y_1 = u_1),$$

$$\eta_2 = \frac{\varphi_2 - \varphi_1}{2\pi} \cdot \frac{3}{4} \quad \left(\text{при } y_1 = \frac{1}{2} u_1 \right),$$

где Q_1 — заряд, захватываемый на первом этапе инжекции,
 $\varphi_2 - \varphi_1 = f(y_1)$ — азимутальный размер сепаратрисы.

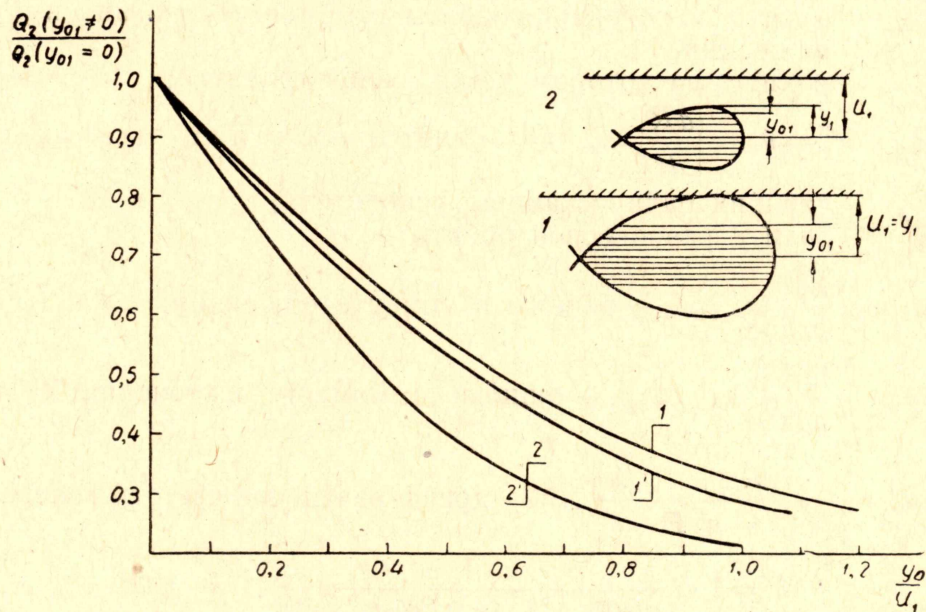


Рис. 2. Зависимость захваченного заряда от энергетического разброса $y_{01} \sim \Delta E_{\max}$

С учетом изменения $g_{\min}(u, \gamma)$ (при $\gamma = 0$)

$$\eta_2' = \frac{\varphi_2 - \varphi_1}{2\pi} \left(\frac{1}{2} - \frac{g_1}{u_1} + \frac{3}{2} \frac{g_1^2}{u_1^2} \right) \quad (\text{при } y_1 = u_1)$$

и

$$\eta_2' = \frac{\varphi_2 - \varphi_1}{2\pi} \left(\frac{3}{4} - \frac{g_1}{u_1} \right) \quad \left(\text{при } y_1 = \frac{1}{2} u_1 \right).$$

Так как $g_1 \ll u_1$, то погрешность формулы (9) незначительна.

Потери частиц за счет энергетического разброса можно оценить по формуле, которая получается из (9) при $\gamma = 0$, $y_1 = u_1$, $y_{01} = u_1 x$:

$$\frac{Q(y_{01} \neq 0)}{Q(y_{01} = 0)} = \frac{2 \left[\frac{5}{16} x \sqrt{1-x^2} + \left(\frac{1}{3} - \frac{x}{8} \right) \sqrt{(1-x^2)^3} - \frac{1}{3} + \frac{5}{16} \arcsin x \right]}{x}. \quad (16)$$

В квадратной скобке $0 \leq x \leq 1$. На рис. 2 представлены следующие графики функции $\frac{Q(y_{01} \neq 0)}{Q(y_{01} = 0)}$: цифрой 1 обозначен график, рассчитан-

ный без учета, а 1' — с учетом изменения $g_{\min}(u)$ на втором этапе инжекции для параметров синхротрона 1,5 ГэВ ТПИ ($g_1 = 1,5 \text{ см}$, $u_1 = 10 \text{ см}$) и $y_1 = u_1$; цифрой 2 — график без учета, а 2' — с учетом изменения $g_{\min}(u)$ для параметров синхрофазотрона 10 ГэВ ОИЯИ г. Дубна ($g_1 = 3 \text{ см}$, $u_1 = 50 \text{ см}$) и $y_1 = \frac{1}{2} u_1$.

Рассмотрим захват параллельного моноэнергетического пучка при неоптимальных условиях захвата. Введем обозначения:

R_1 — радиус мгновенной орбиты в момент включения импульса инжекции;

R_2 — радиус мгновенной орбиты в момент включения ВЧ-поля;

R_2' — радиус мгновенной орбиты в момент окончания импульса инжекции;

$R_{\text{инф}}$ — радиус, на котором установлен инфлектор;

$R_1 - R_2' = u_{\text{и}} = \left| \frac{dR}{dt} \right| \Delta\tau_{\text{и}}$, $\Delta\tau_{\text{и}}$ — длительность импульса инжекции

\bar{R}_s — средний радиус камеры ускорителя;

R_s — радиус равновесной орбиты;

$\Delta u_{\text{и}} = \left| \frac{dR}{dt} \right| \Delta\tau_{\text{и}}$, $\Delta\tau_{\text{и}}$ — ошибка в моменте инжекции;

$\Delta u_{\text{ВЧ}} = \left| \frac{dR}{dt} \right| \Delta\tau_{\text{ВЧ}}$, $\Delta\tau_{\text{ВЧ}}$ — ошибка в моменте включения ВЧ-поля;

$\Delta u_{\omega} = \frac{R_s}{\beta^2(1-n)F} \cdot \frac{\Delta\omega}{\omega_s}$, $\Delta\omega$ — дрейф начальной частоты генератора;

$$F = 1 - \frac{1}{(2\pi\bar{R}_s + L)[n + \beta^2(1-n)]}, \quad L = 4l;$$

$\Delta u_E = \frac{R_s}{\beta^2(1-n)E} \Delta E$, ΔE — дрейф энергии инжекции.

Изменения вышеуказанных параметров рассматриваются от цикла к циклу. На рис. 3 представлен частный случай: $R_1 < R_{\text{инф}}$, $R_s = \bar{R}_s > R_2$. Каждому положению мгновенной орбиты и соответствует область инфлектора $g_{\min}(u)$, вылетев из которой частица не столкнется с инфлектором. Если возвращать мгновенную орбиту электронов после того, как они совершат κ' оборотов, на прежнее место, то получим график функции $g_{\min}(u)$, нарисованный сплошной линией. Так как фактически мгновенная орбита двигается, то график функции $g_{\min}(u)$ изображается штриховой линией. Из рис. 3 видно, что область интегрирования по u равна $[(R_{\text{инф}} - R_1), u_1 - y]$, по $y - [R_s - R_2, y_1]$, ази-

(мутальный размер сгустка: $(\varphi_{02} - \varphi_{01}) = (\varphi_2 - \varphi_1) \sqrt{1 - \left(\frac{R_s - R_2}{y_1} \right)^2}$).

Таким образом,

$$Q = \frac{I(\varphi_2 - \varphi_1)}{g_1 \left| \frac{dR}{dt} \right| \cdot y_1 \cdot 2\pi} \sqrt{1 - \left(\frac{R_s - R_2}{y_1} \right)^2} \int_{R_s - R_2}^{y_1} \int_{R_{\text{инф}} - R_1}^{u_1 + (R_{\text{инф}} - R_1) - y} \int_0^{g_{\min}(u)} dg du dy. \quad (17)$$

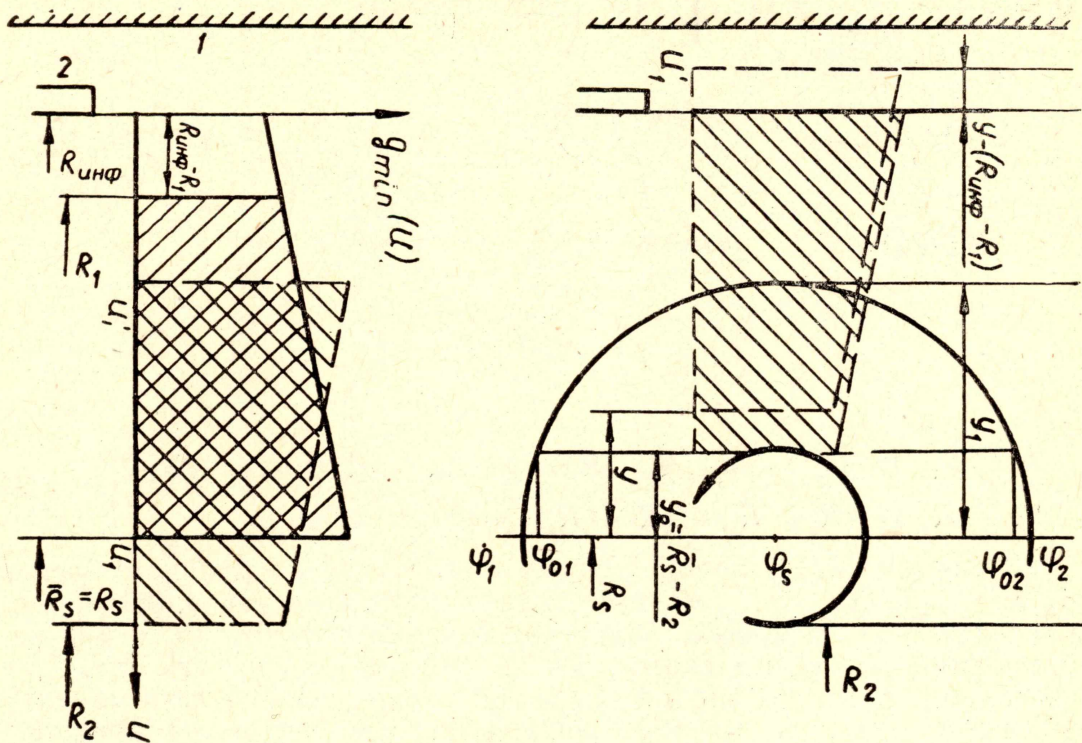


Рис. 3. К расстановке пределов интегрирования по u , y , ψ_0 при неоптимальных условиях захвата

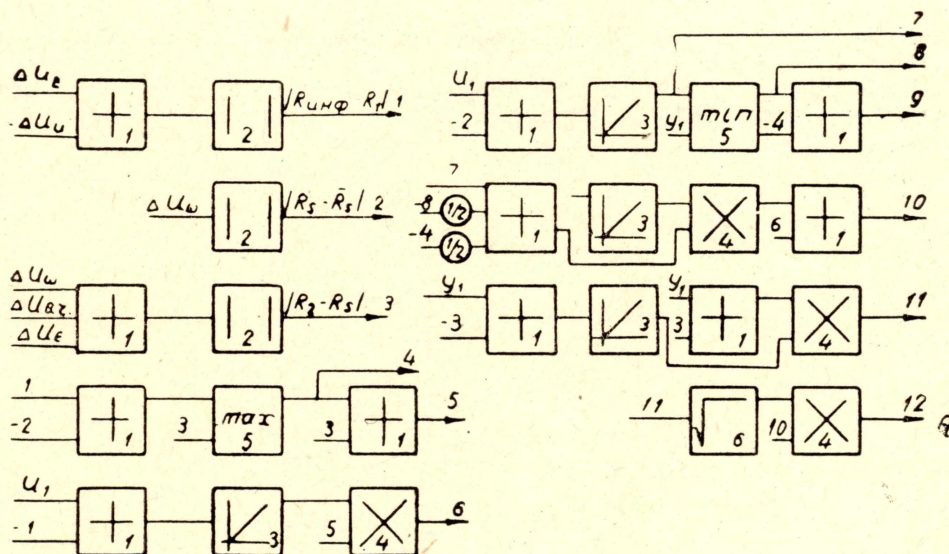


Рис. 4. Функциональная схема моделирования соотношений захвата (18) на АВМ (операции: 1 — суммирование, 2 — выделение модуля, 3 — сравнения с нулем, 4 — перемножения, 5 — сравнения двух величин, 6 — извлечения корня)

В общем случае зависимость захваченного заряда от вышеуказанных параметров имеет вид:

$$Q = \frac{I \cdot 2(1 - \varphi_s \cdot \text{ctg } \varphi_s)^{1/2}}{g_1 \left| \frac{dR}{dt} \right| y_1 \cdot \pi} \sqrt{1 - \left(\frac{|R_s - R_2|}{y_1} \right)^2} \left(\int_{|R_s - R_2|}^{|R_{\text{инф}} - R_1| - |R_s - \bar{R}_s|} \times \right. \\ \times \int_{\{(R_1 - R_{\text{инф}}) \geq 0\}}^{u_1 - \{(R_1 - R_{\text{инф}}) \geq 0\}} + \int_{|R_{\text{инф}} - R_1| - |R_s - \bar{R}_s|}^{\min\{u_1 - |R_s - \bar{R}_s|, u_1 - (y_1 + |R_s - \bar{R}_s|) - \{(R_{\text{инф}} - R_1) \geq 0\}\}} \int_{\{(R_{\text{инф}} - R_1) \geq 0\}} \times \\ \left. \times \int_0^{g_{\min}(u)} dg du dy, \right) \quad (18)$$

где:

$$\left. \begin{aligned} R_1 - R_{\text{инф}} = \Delta u_E - \Delta u_{\text{и}}, \quad R_s - \bar{R}_s = \Delta u_{\omega}, \quad R_2 - \bar{R}_s = \Delta u_E - \Delta u_{\text{вч}} \\ |R_2 - R_s| = |(R_s - \bar{R}_s) - (R_2 - \bar{R}_s)| = |\Delta u_E - \Delta u_{\text{вч}}| \end{aligned} \right\}. \quad (19)$$

Подставляя (19) в (18), получим зависимость захваченного заряда от $\Delta u_{\text{вч}}$, $\Delta u_{\text{и}}$, Δu_E , Δu_{ω} . Из (18) видно, что при неравномерном распределении захваченного заряда по u зависимость от $\Delta u_{\text{и}}$ и Δu_E не симметрична относительно нуля. Из (18) легко показать, что для компенсации дрейфа энергии инжекции желательно сделать моменты инжекции и включения ВЧ-поля связанными. На рис. 4 представлена блок-схема моделирования соотношения (18) при $g_{\min}(u) = g_1$.

ЛИТЕРАТУРА

1. М. С. Рабинович. Основы теории синхрофазотрона. Труды ФИАН СССР, т. 10, 1958.
2. И. С. Данилкин, М. С. Рабинович. Захват частиц в синхрофазотронный режим ускорения. ЖТФ, т. 28, вып. 2, 1958.